

Проекционный метод численного решения кинетического уравнения Больцмана позволил провести моделирование течений диффузии и теплового скольжения, занявшее порядка $2 \cdot 10^5$ временных итераций. Это подтверждает эффективность его применения и для расчета медленных течений.

1. Черемисин Ф. Г. Решение кинетического уравнения Больцмана для высокоскоростных течений // ЖВМ и МФ. — 2006. — Т. 46, № 2. — С. 329–343.
2. Клосс Ю. Ю., Мартынов Д. В., Черемисин Ф. Г. Численный метод анализа свойств микронасоса Кнудсена // Вычислительные методы и программирование. — 2010. — Т. 12.
3. Takata S., Umetsu H. Numerical study on effective configurations of the knudsen pump for separation and compression // AIP Conference Proceedings. — 2011. — V. 1333, No. 1. — P. 998–1003.
4. Sugimoto H., Shinotou A. Gas separator with the thermal transpiration in a rarefied gas // AIP Conference Proceedings. — 2011. — V. 1333, No. 1. — P. 784–789.

ИССЛЕДОВАНИЕ ФУНКЦИИ РАСПРЕДЕЛЕНИЯ В УДАРНОЙ ВОЛНЕ

0. И. Додулад¹, Ф. Г. Черемисин², Г. С. Колядко³, Е. П. Дербакова¹

¹МФТИ, Долгопрудный, Московская обл., Россия; ²ВЦ РАН, Москва, Россия;

³НИЦ «Курчатовский институт», Москва, Россия

В работе исследована структура ударной волны на основе решения кинетического уравнения Больцмана относительно функции распределения по скоростям. Интеграл столкновений Больцмана рассчитывается консервативным проекционным методом [1].

Основное внимание в работе удалено функции распределения молекул по скорости в ударной волне. Расчеты были проведены в диапазоне чисел Маха от $M = 1,1$ до $M = 20$, рассмотрены молекулярная модель твердых сфер и Леннард-Джонса.

На рис. 1 представлено сравнение рассчитанной функции распределения в центре слабой ударной волны с функцией в приближении Энскога–Чепмена. Сплошной линией показаны разница рассчитанной функции и локальной максвелловской, пунктирной линией — функция первого приближения Энскога–Чепмена. Для чисел Маха близких к единице наблюдается хорошее совпадение приближения с расчетом, для $M = 1,6$ отличие становится существенным. Результаты расчетов согласуются с результатами настоящей работы.

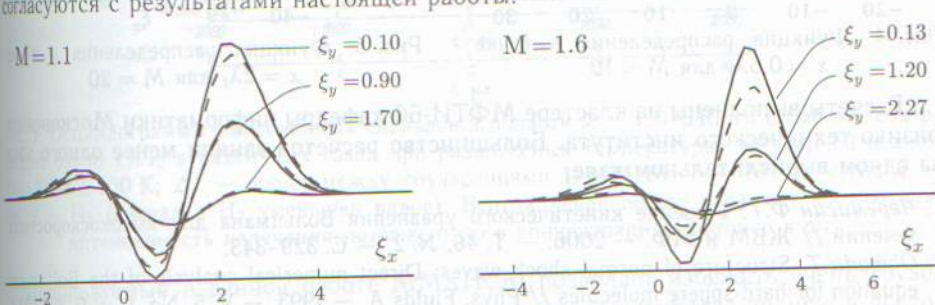


Рис. 1. Сравнение с разложением Энскога–Чепмена

На рис. 2 отображены продольные сечения функции распределения при числе Маха $M = 3$ для потенциалов твердых сфер и Леннард–Джонса. На рис. 3 показаны

ны приведенные макропараметры газа при $M = 7$, а также величина

$$Q_R(x, g_R) = \int f\bar{f} g H(g - g_R) b \, db \, d\varepsilon \, d^3\xi \, d^3\bar{\xi},$$

характеризующая число столкновений с энергией больше пороговой, величина порога определяется g_R , $g_R = 3,5\sqrt{kT_2/m}$, $H(x)$ — функция Хевисайда.

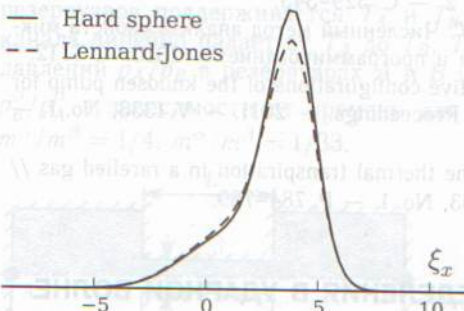


Рис. 2. Функция распределения в точке
 $x = 0,6\lambda_1$ для $M = 3$

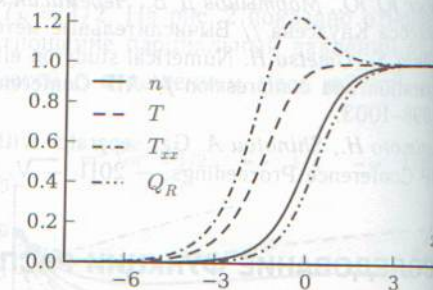


Рис. 3. Приведенные макропараметры и функционал Q_R в зависимости от дальнейной координаты для $M = 7$

Функции распределения для сильной ударной волны $M = 10$, $M = 20$ показаны на рисунках 4 и 5. Наблюдается острый максимум, относящийся к холодному газу, который проникает внутрь ударной волны. Качественно функция распределения соответствует анализу ударных волн бесконечной интенсивности в работах [3, 4].

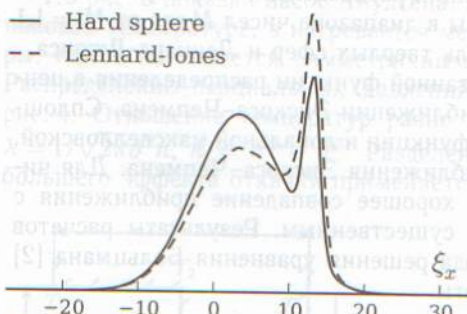


Рис. 4. Функция распределения в точке $x = 0,6\lambda_1$ для $M = 10$

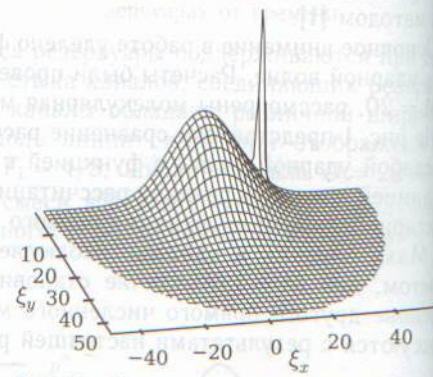


Рис. 5. Функция распределения в точке $x = 2\lambda_1$ для $M = 20$

Расчеты выполнены на кластере МФТИ-60 кафедры информатики Московского физико-технического института. Большинство расчетов заняли менее одного часа на одном вычислительном узле.

1. Черемисин Ф. Г. Решение кинетического уравнения Больцмана для высокоскоростных течений // ЖВМ и МФ. — 2006. — Т. 46, № 2. — С. 329–343.
 2. Ohwada T. Structure of normal shock waves: Direct numerical analysis of the Boltzmann equation for hard-sphere molecules // Phys. Fluids A. — 1993. — V. 5, No. 1. — P. 217–224.
 3. Cercignani C., Frezzotti A., Grosfils P. The structure of an infinitely strong shock wave // Physics of Fluids. — 1999. — V. 11, No. 9. — P. 2757–2764.
 4. Takata S., Aoki K., Cercignani C. The velocity distribution function in an infinitely strong shock wave // Physics of Fluids. — 2000. — V. 12, No. 8. — P. 2116–2127.

МОДЕЛИРОВ

A.1

¹ОИВТ РАН, Моск

Метод Монте-Карло (или direct simulation) применен при моделировании при числе Маха УВ в такой системе [2, 3]. На фронте УВ и было показано, что эффект обусловлен взаимодействием молекул I_2 между собой. Для него исключены вторичные и высшие производные исходных молекул, что позволяет упростить расчеты. Однако, в силу чрезмерной сложности схемы взаимодействия в системе, в частности, в зоне соприкосновения УВ и ОВ, неизбежно появляются косвенные зависимости. Уравнения Больцмана для функций распределения априорно грубыми, но при этом они резко возрастают в зоне соприкосновения. Распределения, являющиеся решением уравнений, оставались определенными в зоне соприкосновения.

Рис. 1. Осциллограммы
жеющих около 1% I_2 в
 $T_2 = 2100 \pm 100$ К; Δ —
He, 4 — H_2 (сигнал
интенсивности)

Используемый в
емкого решения ур-
верную информаци
течения разреженн
частиц, каждая из